Laboratorium EMVO Sp. J. Urbański, Pawelak
ul. Jasna 1
00-013 Warszawa

tel. +48 22 780 29 64
e-mail: laboratorium@emvo.pl

AB 1630

# Sprawozdanie z pomiarów pól elektromagnetycznych - środowisko ogólne nr 30/04/OŚ/2021– P4-W

| | | |
|---|---|---|
| **Nr i nazwa stacji** | **LUB1023** | |
| **Adres** | **Lublin, ul. Zana 11 akademik UMCS, pow. Lublin, woj. lubelskie** | |
| **Opracowanie** | **Martyna Karczmarczyk** | **Specjalista ds. pomiarów** |
| **Autoryzacja** | **Andrzej Urbański** | **Kierownik Laboratorium** |
| **Podpis** | Signature Not Verified<br>Dokument podpisany przez Andrzej Urbański<br>Data: 2021.04.20 09:30:55 CEST<br>Powód: Zatwierdzam dokument | |
| **Data** | **2021-04-15** | |

„Bez pisemnej zgody Laboratorium niniejsze sprawozdanie nie może być powielane inaczej, jak tylko w całości. Ponadto wyniki dotyczą tylko badanych obiektów przywołanych w niniejszym sprawozdaniu z badań”

**Spis treści**

1. Informacje ogólne ..... 3
2. Podstawa prawna. ..... 3
3. Opis pomiarów ..... 3
4. Zróżnicowanie dopuszczalne poziomy pól elektromagnetycznych. ..... 5
5. Charakterystyka źródeł PEM. ..... 5
6. Wyniki pomiarów ..... 5
7. Stwierdzenie zgodności ..... 7
8. Oświadczenie. ..... 8
9. Spis załączników. ..... 8

„Bez pisemnej zgody Laboratorium niniejsze sprawozdanie nie może być powielane inaczej, jak tylko w całości. Ponadto wyniki dotyczą tylko badanych obiektów przywołanych w niniejszym sprawozdaniu z badań”

## 1. Informacje ogólne.

| | |
|---|---|
| **Zleceniodawca** | **P4 sp. zo.o.,**<br>ul. Wynalazek 1,<br>02-677 Warszawa<br>osoba udzielająca informacji-<br>Monika Jankowska |
| **Istotne informacje dostarczone przez klienta** | komplet informacji niezbędnych do wykonania pomiarów i opracowania sprawozdania |
| **Dane otrzymane od klienta mogące mieć wpływ na ważność wyników** | Dane anten sektorowych, dane anten radioliniowych, parametry pracy instalacji, poprawka pomiarowa, ustawienie pochylenia anten |
| **Prowadzący instalację** | P4 sp. z o.o., ul. Wynalazek 1, 02-677 Warszawa |
| **Lokalizacja obiektu** | Lublin, ul. Zana 11 akademik UMCS, pow. Lublin, woj. lubelskie |
| **Miejsce instalacji anten** | Dach budynku |
| **Miejsce instalacji urządzeń** | Outdoor |
| **Osoby wykonujące pomiar** | Michał Snoch |
| **Data wykonania pomiaru** | 15.04.2021 |
| **Temperatura na początku pomiaru [°C]** | 5,5 |
| **Temperatura na koniec pomiaru [°C]** | 5,5 |
| **Warunki atmosferyczne** | Brak opadów |
| **Wilgotność na początku pomiaru [%]** | 74,0 |
| **Wilgotność na koniec pomiaru [%]** | 73,5 |
| **Inne źródła pól elektromagnetycznych oznaczone na załączniku graficznym** | Nie występują |
| **Parametry pracy instalacji** | Rzeczywisty |

## 2. Podstawa prawna.

### 2.1 Normy i rozporządzenia:

- Rozporządzeniem Ministra Klimatu z dnia 17 lutego 2020 r. w sprawie sposobów sprawdzania dotrzymania dopuszczalnych poziomów pól elektromagnetycznych w środowisku (Dz.U. 2020 poz. 258)
- Rozporządzenie Ministra Zdrowia z dnia 17 grudnia 2019 r. w sprawie dopuszczalnych poziomów pól elektromagnetycznych w środowisku (Dz.U. 2019 poz. 2448)
- Obwieszczenie Marszałka Sejmu Rzeczypospolitej Polskiej z dnia 19 lipca 2019 r. w sprawie ogłoszenia jednolitego tekstu ustawy - Prawo ochrony środowiska (Dz.U. 2019 poz. 1396).

## 3. Opis pomiarów

„Bez pisemnej zgody Laboratorium niniejsze sprawozdanie nie może być powielane inaczej, jak tylko w całości. Ponadto wyniki dotyczą tylko badanych obiektów przywołanych w niniejszym sprawozdaniu z badań"

| | |
|---|---|
| Metodologia pomiarowa | Pomiary w oparciu o Rozporządzeniem Ministra Klimatu z dnia 17 lutego 2020 r. w sprawie sposobów sprawdzania dotrzymania dopuszczalnych poziomów pól elektromagnetycznych w środowisku (Dz.U. 2020 poz. 258). |
| Cel badań | Określenie wartości natężenia pola elektrycznego w miejscach dostępnych dla ludności. |
| Opis zestawu pomiarowego | Miernik Narda NBM 550, Sonda EF9091, o zakresie pomiarowym 0,8 V/m - 300V/m pracująca w paśmie 0,1 – 90 GHz, świadectwo wydane przez Laboratorium Wzorców i Metrologii Pola Elektromagnetycznego, Instytut Telekomunikacji, Teleinformatyki i Akustyki Politechniki Wrocławskiej. Świadectwo ważne do 27.03.2022r.<br>Miernik Narda NBM 550, Sonda EF9091 pracująca w zakresie temperatury -10°C - +50°C oraz wilgotności 5% - 95%.<br>Niepewność rozszerzona 38,6 % przy poziomie ufności 95% z uwzględnieniem współczynnika rozszerzenia k=2. |
| Wyposażenie pomocnicze | Termohigrometr Bestone, typ: GM1362-EN-00, nr identyfikacyjny 1222436, świadectwo wzorcowania z dn. 03.04.2017r. wydane przez Laboratorium Pomiarowe "MUTECH". Przymiar wstęgowy STABILA, nr identyfikacyjny 5/WL/2016, świadectwo wzorcowania z dn. 06.09.2016 r. wydane przez Zespół Laboratoriów wzorcujących Okręgowego Urzędu Miar w Gdańsku.<br>Dalmierz laserowy BOSH GLM 40, Świadectwo wzorcowania L4-L41.4180.141.2018.3061.1 z dnia 12 września 2018 wydane przez Pracownia Długości Samodzielnego Laboratorium Długości w Głównym Urzędzie Miar.<br>GPS Garmin 64s okresowo sprawdzany w punktach osnowy geodezyjnej klasy 3 na podstawie licencji punktu, zgodnie z procedurą sprawdzeń okresowych IS/PO-16-11/03. |
| Pomiary zostały wykonane | 1. na głównych i pomocniczych kierunkach pomiarowych, na kierunkach zbliżonych do azymutów anten oraz w dodatkowych pionach pomiarowych zgodnie z wymaganiami pkt 12, 13, 14 i 19 załącznika do rozporządzenia Ministra Klimatu z dnia 17 lutego 2020 r. (Dz. U. 2020, poz. 258),<br>2. na obszarze pomiarowym, dla którego, na podstawie uprzednio wykonanych obliczeń uzyskanych od zleceniodawcy, stwierdzono możliwość występowania pól elektromagnetycznych o poziomach zbliżonych do poziomów dopuszczalnych zgodnie z wymaganiami pkt 5 ppkt 2 oraz pkt 13 ppkt 1 załącznika do rozporządzenia Ministra Klimatu z dnia 17 lutego 2020 r. (Dz. U. 2020, poz. 258). Wyniki obliczeń nie uwzględniały parametrów pracy instalacji innych operatorów występujących na obiekcie bądź w obszarze pomiarowym.<br>3. w miejscach dostępnych dla ludności.<br>4. miejsca niedostępne podczas wykonywania pomiarów wskazane zostały w pkt 6 (tabeli wyniki pomiarów)<br>5. wyniki pomiarów uzyskane zostały przy uwzględnieniu poprawek pomiarowych przekazanych przez zleceniodawcę oraz przy rzeczywistych warunkach pracy instalacji innych operatorów (w przypadku występowania). W takiej sytuacji uwzględniono jednolitą poprawkę pomiarową wynoszącą 1,4. |
| Szczególne warunki podczas wykonywanie pomiarów | Pomiary wykonane zostały podczas obowiązywania w kraju stanu epidemii, zgodnie z art. 122a ust. 1b Ustawy z dnia 27 kwietnia 2001 r. – Prawo ochrony środowiska (Dz. U. z 2019 r. poz. 1396, z późn. zm.9)) |
| Warunki pracy urządzeń nadawczych | Podczas pomiarów zostały uwzględnione poprawki pomiarowe przekazane przez zleceniodawcę, umożliwiające uwzględnienie maksymalnych parametrów pracy |

instalacji zgodnie z pkt 7 załącznika do Rozporządzeniem Ministra Klimatu z dnia 17 lutego 2020 r. w sprawie sposobów sprawdzania dotrzymania dopuszczalnych poziomów pól elektromagnetycznych w środowisku (Dz. U. 2020, poz. 258).

## 4. Zróżnicowanie dopuszczalne poziomy pól elektromagnetycznych.

Zakresy znajdują się w Dzienniku Ustaw z dnia 17 grudnia 2019 r. przestawione są w tabeli nr 2 (Dz. U. z 2019r. poz. 2448).

| Parametr fizyczny / Zakres Częstotliwości pola elektromagnetycznego | Składowa elektryczna E (V/m) | Składowa magnetyczna H (A/m) | Gęstość mocy S (W/m2) |
|---|---|---|---|
| od 400 MHz do 2000 MHz | $1{,}375 \times f^{0,5}$ | $0{,}0037 \times f^{0,5}$ | f / 200 |
| od 2 GHz do 300 GHz | 61 | 0,16 | 10 |

## 5. Charakterystyka źródeł PEM.

Zgodnie z informacja otrzymaną od Klienta pomiary zostały wykonane przy ustawieniach pochylenia anten zgodnych z pkt. 13, ppkt 2 załącznika do rozporządzenia Ministra Klimatu z dnia 17 lutego 2020 roku.

Tabela 1. Anteny sektorowe - dane otrzymane od klienta

| | | | | | | | | | | | | | | |
|---|---|---|---|---|---|---|---|---|---|---|---|---|---|---|
| | Charakterystyka promieniowania | kierunkowa | | | | | | | | | | | | |
| | Rzeczywisty czas pracy [h/dobę] | 24 | | | | | | | | | | | | |
| | Rodzaj wytwarzanego pola | stacjonarne | | | | | | | | | | | | |
| Lp | Wyszczególnienie | sektor 1 | | | | | sektor 2 | | | | | | | |
| I | **Nadajnik stacji bazowej:** | | | | | | | | | | | | | |
| 1 | Typ / Producent | RBS / Ericsson | | | | | | | | | | | | |
| 2 | Częstotliwość (pasmo) MHz | 2600 | 900 | 800 | 2100 | 1800 | 2600 | 800 | 2600 | 900 | 2100 | 1800 | 2100 | 1800 |
| 3 | Maksymalna moc nadawana na sektor [dBm] | 52,04 | 44,8 | 43,01 | 53,01 | 53,01 | 49,03 | 49,03 | 49,03 | 47,78 | 50 | 50 | 50 | 50 |
| II | **Obciążenie:** | | | | | | | | | | | | | |
| 1 | Typ anteny | Huawei ATR4518R6 | | | Huawei ATR4518R6 | | Huawei ADU4518R11 | | Huawei ADU4518R11 | | Kathrein 742215 | | Kathrein 742215 | |
| 2 | Producent anteny | Huawei | | | Huawei | | Huawei | | Huawei | | Kathrein | | Kathrein | |
| 3 | Ilość anten | 1 | | | 1 | | 1 | | 1 | | 1 | | 1 | |
| 4 | Azymut | 0 | | | | | 120 | | | | | | | |
| 5 | Zakres kątów pochylenia anten [°] | 0-8 | 0-8 | 0-8 | 0-6 | 0-6 | 2-3 | 0-3 | 2-3 | 0-3 | 0-3 | 0-3 | 0-3 | 0-3 |
| 6 | Wysokość zainst. n.p.t. [m] | 26,90 | | | | | 26,90 | | | | | | | |
| 7 | EIRP [W] | 9876 | | | 17508 | | 6394 | | 5667 | | 9510 | | 9510 | |

| | | | | | | | | | |
|---|---|---|---|---|---|---|---|---|---|
| Charakterystyka promieniowania | | kierunkowa | | | | | | | |
| Rzeczywisty czas pracy [h/dobę] | | 24 | | | | | | | |
| Rodzaj wytwarzanego pola | | stacjonarne | | | | | | | |
| Lp | Wyszczególnienie | sektor 3 | | | | | | | |
| I | **Nadajnik stacji bazowej:** | | | | | | | | |
| 1 | Typ / Producent | RBS / Ericsson | | | | | | | |
| 2 | Częstotliwość (pasmo) MHz | 2600 | 800 | 2600 | 900 | 2100 | 1800 | 2100 | 1800 |
| 3 | Maksymalna moc nadawana na sektor [dBm] | 49,03 | 49,03 | 49,03 | 47,78 | 50 | 50 | 50 | 50 |
| II | **Obciążenie:** | | | | | | | | |
| 1 | Typ anteny | Huawei ADU4518R11 | | Huawei ADU4518R11 | | Kathrein 742215 | | Kathrein 742215 | |
| 2 | Producent anteny | Huawei | | Huawei | | Kathrein | | Kathrein | |
| 3 | Ilość anten | 1 | | 1 | | 1 | | 1 | |
| 4 | Azymut | 240 | | | | | | | |
| 5 | Zakres kątów pochylenia anten [°] | 2-4 | 0-4 | 2-4 | 0-4 | 0-4 | 0-4 | 0-4 | 0-4 |
| 6 | Wysokość zainst. n.p.t. [m] | 26,90 | | | | | | | |
| 7 | EIRP [W] | 6394 | | 5667 | | 9510 | | 9510 | |

Tabela 2. Anteny radioliniowe- dane otrzymane od klienta

| Charakterystyka promieniowania | | | | kierunkowa | | | |
|---|---|---|---|---|---|---|---|
| Rzeczywisty czas pracy [h/dobę] | | | | 24 | | | |
| Rodzaj wytwarzanego pola | | | | stacjonarne | | | |
| | Linia radiowa | | | Antena | | | |
| Lp | typ/producent | częstotliwość pracy [GHz] | moc wyjściowa [dBm] | typ/producent | średnica anteny [m] | azymut [°] | wysokość zainstal. [m] |
| 1 | OPTIX RTN/HUAWEI | 32 | 23 | VHLP2-32/Andrew | 0,6 | 137 | 27,90 |

## 6. Wyniki pomiarów.

Wyniki pomiarów pól elektromagnetycznych dla celów ochrony środowiska przedstawia poniższa tabela. Piony pomiarowe zostały przedstawione w zał. 2.

| Nr PP | Pole-E [V/m] | Pole-E *kE, +U [V/m] | Pole-H [A/m] | Pole-H *kE +U [A/m] | Wys. pomiaru [m] | Opis pionu | Uwagi | $WM_E$ | $WM_H$ |
|---|---|---|---|---|---|---|---|---|---|
| 1 | 1,2 | 2,33 | 0,003 | 0,006 | 1,0 | N:51°14'39.1" E:22°30'56.3" | otoczenie stacji bazowej - 50m wzdłuż gł. osi promieniowania - GKP | 0,060 | 0,059 |
| 2 | 0,8 | 1,55 | 0,002 | 0,004 | 1,0 | N:51°14'40.6" E:22°30'56.6" | otoczenie stacji bazowej - 100m wzdłuż gł. osi promieniowania - GKP | 0,040 | 0,039 |
| 3 | <0,8* | <1,55 | <0,002 | <0,004 | 0,3-2,0 | N:51°14'41.9" E:22°30'56.9" | otoczenie stacji bazowej - 150m wzdłuż gł. osi promieniowania - GKP | <0,040 | <0,039 |
| 4 | <0,8* | <1,55 | <0,002 | <0,004 | 0,3-2,0 | N:51°14'43.6" E:22°30'56.6" | otoczenie stacji bazowej - 200m wzdłuż gł. osi promieniowania - GKP | <0,040 | <0,039 |
| 5 | 3,2 | 6,21 | 0,008 | 0,016 | 0,9 | N:51°14'36.2" E:22°30'58.7" | otoczenie stacji bazowej - 50m wzdłuż gł. osi promieniowania - GKP | 0,160 | 0,157 |
| 6 | 1,2 | 2,33 | 0,003 | 0,006 | 1,4 | N:51°14'35.4" E:22°31'00.7" | otoczenie stacji bazowej - 100m wzdłuż gł. osi promieniowania - GKP | 0,060 | 0,059 |
| 7 | <0,8* | <1,55 | <0,002 | <0,004 | 0,3-2,0 | N:51°14'34.5" E:22°31'02.9" | otoczenie stacji bazowej - 150m wzdłuż gł. osi promieniowania - GKP | <0,040 | <0,039 |
| 8 | <0,8* | <1,55 | <0,002 | <0,004 | 0,3-2,0 | N:51°14'33.5" E:22°31'05.5" | otoczenie stacji bazowej - 200m wzdłuż gł. osi promieniowania - GKP | <0,040 | <0,039 |
| 9 | 1,3 | 2,52 | 0,003 | 0,007 | 1,1 | N:51°14'36.5" E:22°30'53.7" | otoczenie stacji bazowej - 50m wzdłuż gł. osi promieniowania - GKP | 0,065 | 0,064 |

„Bez pisemnej zgody Laboratorium niniejsze sprawozdanie nie może być powielane inaczej, jak tylko w całości. Ponadto wyniki dotyczą tylko badanych obiektów przywołanych w niniejszym sprawozdaniu z badań”

| | | | | | | | | | |
|---|---|---|---|---|---|---|---|---|---|
| 10 | 0,9 | 1,75 | 0,002 | 0,005 | 1,1 | N:51°14'35.8" E:22°30'51.7" | otoczenie stacji bazowej - 100m wzdłuż gł. osi promieniowania - GKP | 0,045 | 0,044 |
| 11 | 2,1 | 4,07 | 0,006 | 0,011 | 0,8 | N:51°14'35.1" E:22°30'49.5" | otoczenie stacji bazowej - 150m wzdłuż gł. osi promieniowania - GKP | 0,105 | 0,103 |
| 12 | 2,1 | 4,07 | 0,006 | 0,011 | 1,0 | N:51°14'35.6" E:22°30'58.6" | otoczenie stacji bazowej - 50m wzdłuż gł. osi promieniowania - GKP | 0,105 | 0,103 |
| 13 | 1,2 | 2,33 | 0,003 | 0,006 | 1,0 | N:51°14'39.6" E:22°30'58.1" | otoczenie stacji bazowej - GKP | 0,060 | 0,059 |
| 14 | 1,0 | 1,94 | 0,003 | 0,005 | 0,8 | N:51°14'38.2" E:22°30'57.9" | otoczenie stacji bazowej - GKP | 0,050 | 0,049 |
| 15 | 1,5 | 2,91 | 0,004 | 0,008 | 0,9 | N:51°14'35.1" E:22°30'56.1" | otoczenie stacji bazowej - GKP | 0,075 | 0,074 |
| 16 | 1,3 | 2,52 | 0,003 | 0,007 | 0,9 | N:51°14'35.1" E:22°30'53.1" | otoczenie stacji bazowej - GKP | 0,065 | 0,064 |
| 17 | 1,0 | 1,94 | 0,003 | 0,005 | 1,4 | N:51°14'36.9" E:22°30'52.9" | otoczenie stacji bazowej - GKP | 0,050 | 0,049 |
| 18 | 1,2 | 2,33 | 0,003 | 0,006 | 1,3 | N:51°14'37.8" E:22°30'54.7" | otoczenie stacji bazowej - GKP | 0,060 | 0,059 |
| 19 | 1,0 | 1,94 | 0,003 | 0,005 | 1,1 | N:51°14'40.5" E:22°30'54.1" | otoczenie stacji bazowej - GKP | 0,050 | 0,049 |
| 20 | 1,2 | 2,33 | 0,003 | 0,006 | 1,1 | N:51°14'40.8" E:22°30'55.2" | otoczenie stacji bazowej - GKP | 0,060 | 0,059 |
| A | 1,9 | 3,69 | 0,005 | 0,010 | 1,1 | N:51°14'37.2" E:22°30'56.6" | Zana 11, pomiar przed budynkiem - DPP | 0,095 | 0,093 |
| B | <0,8* | <1,55 | <0,002 | <0,004 | 0,3-2,0 | N:51°14'42.4" E:22°30'56.9" | Zana 7, pomiar przed bramą -DPP | <0,040 | <0,039 |
| C | <0,8* | <1,55 | <0,002 | <0,004 | 0,3-2,0 | N:51°14'45.6" E:22°30'56.9" | Namysłowskiego 11, pomiar przed bramą -DPP | <0,040 | <0,039 |
| D | 1,3 | 2,52 | 0,003 | 0,007 | 1,0 | N:51°14'34.9" E:22°30'55.1" | Zana 13, pomiar przed budynkiem - DPP | 0,065 | 0,064 |
| E | 1,5 | 2,91 | 0,004 | 0,008 | 0,8 | N:51°14'34.6" E:22°30'53.2" | Zana 11a, pomiar przed budynkiem - DPP | 0,075 | 0,074 |
| F | <0,8* | <1,55 | <0,002 | <0,004 | 0,3-2,0 | N:51°14'36.5" E:22°30'51.7" | Struga 6, pomiar przed budynkiem - DPP | <0,040 | <0,039 |
| G | <0,8* | <1,55 | <0,002 | <0,004 | 0,3-2,0 | N:51°14'34.4" E:22°31'03.5" | Skierki 7, pomiar przed budynkiem - DPP | <0,040 | <0,039 |
| H | <0,8* | <1,55 | <0,002 | <0,004 | 0,3-2,0 | N:51°14'32.7" E:22°31'07.0" | Wileńska 21, pomiar przed budynkiem -DPP | <0,040 | <0,039 |
| I | <0,8* | <1,55 | <0,002 | <0,004 | 0,3-2,0 | N:51°14'32.4" E:22°31'07.3" | Wileńska 21a, pomiar przed budynkiem -DPP | <0,040 | <0,039 |
| J | 1,5 | 2,91 | 0,004 | 0,008 | 1,5 | N:51°14'36.8" E:22°31'00.1" | Zana 14, pomiar przed budynkiem - DPP | 0,075 | 0,074 |
| K | - | | | | | Brak dostępu – teren niedostępny - ogrodzony | | - | |

wynik pomiaru pole - E [V/m] - maksymalna wartość chwilowa zmierzona w danych pionie pomiarowym

* poniżej czułości zestawu pomiarowego

GKP - główne kierunki pomiarowe

PKP - pomocnicze kierunki pomiarowe

DPP- dodatkowe punkty pomiarowe

PP – pion pomiarowy

U - niepewność pomiarowa rozszerzona, przy poziomie ufności 95%, z uwzględnieniem współczynnika rozszerzenia k=2

kE– poprawka pomiarowa badanej instalacji radiokomunikacyjnej podana przez operatora (kE=1,4), poprawka pomiarowa w przypadku oddziaływania innych instalacji radiokomunikacyjnych na badany obszar (kE=2,0)

$WM_E$ - wartość wskaźnikowa poziomu emisji pól elektromagnetycznych dla miejsc dostępnych dla ludności dla składowej elektrycznej pola

$WM_H$ - wartość wskaźnikowa poziomu emisji pól elektromagnetycznych dla miejsc dostępnych dla ludności dla składowej magnetycznej pola

Przyjęto najniższą dopuszczalną wartość składowej elektrycznej pola dla objętego pomiarami zakresu częstotliwości min(MEgr)= 38,8 V/m oraz składowej magnetycznej min(MHgr)= 0,105 A/m.

„Bez pisemnej zgody Laboratorium niniejsze sprawozdanie nie może być powielane inaczej, jak tylko w całości. Ponadto wyniki dotyczą tylko badanych obiektów przywołanych w niniejszym sprawozdaniu z badań”

## 7. Stwierdzenie zgodności

Na podstawie wytycznych podanych w Rozporządzeniu Ministra Zdrowia z dnia 17 grudnia 2019 r. w sprawie dopuszczalnych poziomów pól elektromagnetycznych w środowisku (Dz.U. 2019 poz. 2448) oraz sposobów sprawdzania dotrzymania tych poziomów zgodnie z Rozporządzeniem Ministra Klimatu z dnia 17 lutego 2020 r. w sprawie sposobów sprawdzania dotrzymania dopuszczalnych poziomów pól elektromagnetycznych w środowisku (Dz.U. 2020 poz. 258) dotyczących źródła wymagań, które muszą być spełnione (załącznik do rozporządzenia Ministra Klimatu z dnia 17 lutego 2020 r. (poz. 258)), w oparciu o zasadę podejmowania decyzji zgodną z pkt 26 załącznika do rozporządzenia Ministra Klimatu z dnia 17 lutego 2020 r. (poz. 258), na podstawie wyników pomiarów pól elektromagnetycznych wykonanych w dniu 15.04.2021 stwierdzono, iż w miejscach dostępnych dla ludności, dopuszczalne poziomy pól elektromagnetycznych w środowisku, określone w przepisach wydanych na podstawie art. 122 ust. 1 ustawy z dnia 27 kwietnia 2001 r. – Prawo ochrony środowiska, uznaje się za dotrzymane w obszarze pomiarowym, w którym w wyniku zastosowania sposobu sprawdzenia dotrzymania dopuszczalnych poziomów pól elektromagnetycznych w środowisku, udokumentowano, że żadna z wartości wskaźnikowych nie przekracza wartości 1.

## 8. Oświadczenie.

Wyniki badania odnoszą się wyłącznie do badanego obiektu.
Bez pisemnej zgody sprawozdanie nie może być powielane inaczej, jak tylko w całości.
Uwagi i zastrzeżenia przyjmowane są w formie pisemnej w ciągu 14 dni od daty otrzymania sprawozdania.

## 9. Spis załączników.

Zał. 1. Lokalizacja obiektu.
Zał. 2. Widok pionów pomiarowych
Zał. 3. Załączniki graficzne

**Koniec sprawozdania**

Zał. 1. Lokalizacja obiektu

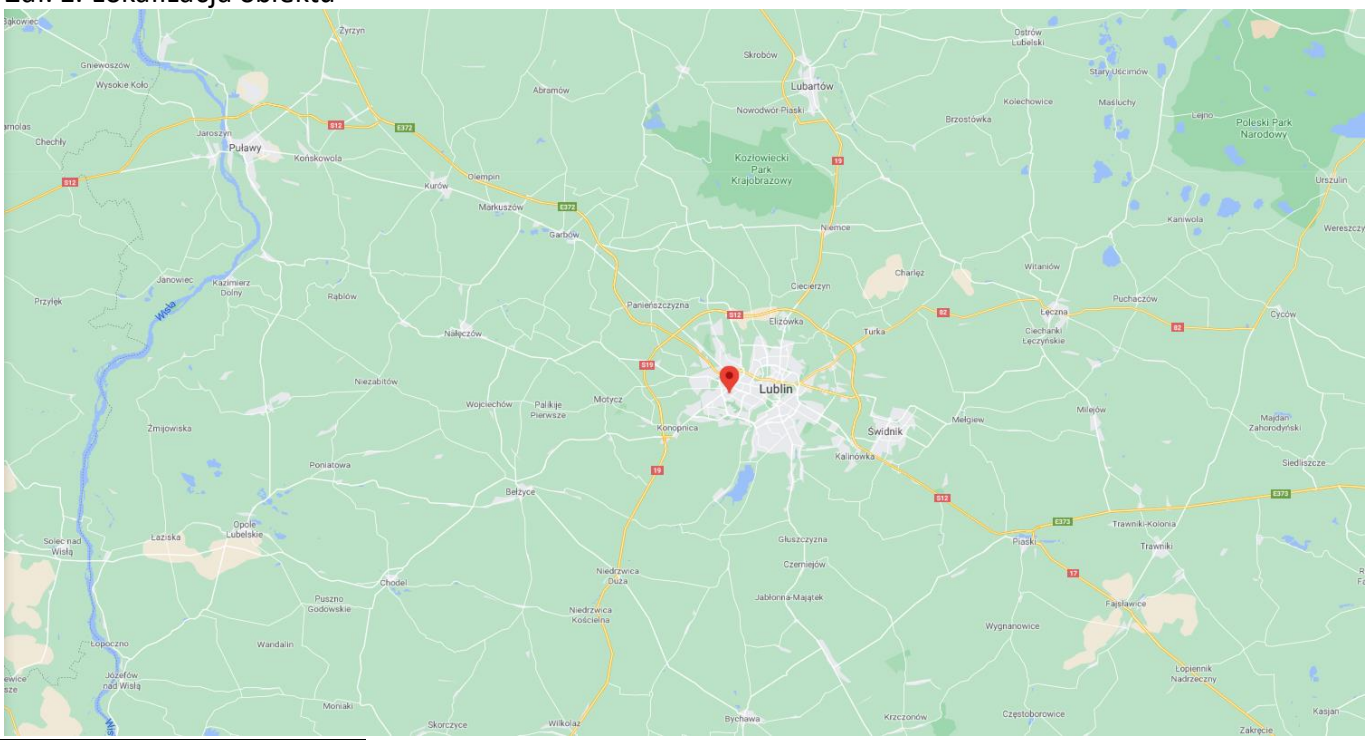


| Współrzędne geograficzne | |
|---|---|
| długość: | 22°30'56.32"E |
| szerokość: | 51°14'38.37"N |

Zał. 2. Widok pionów pomiarowych

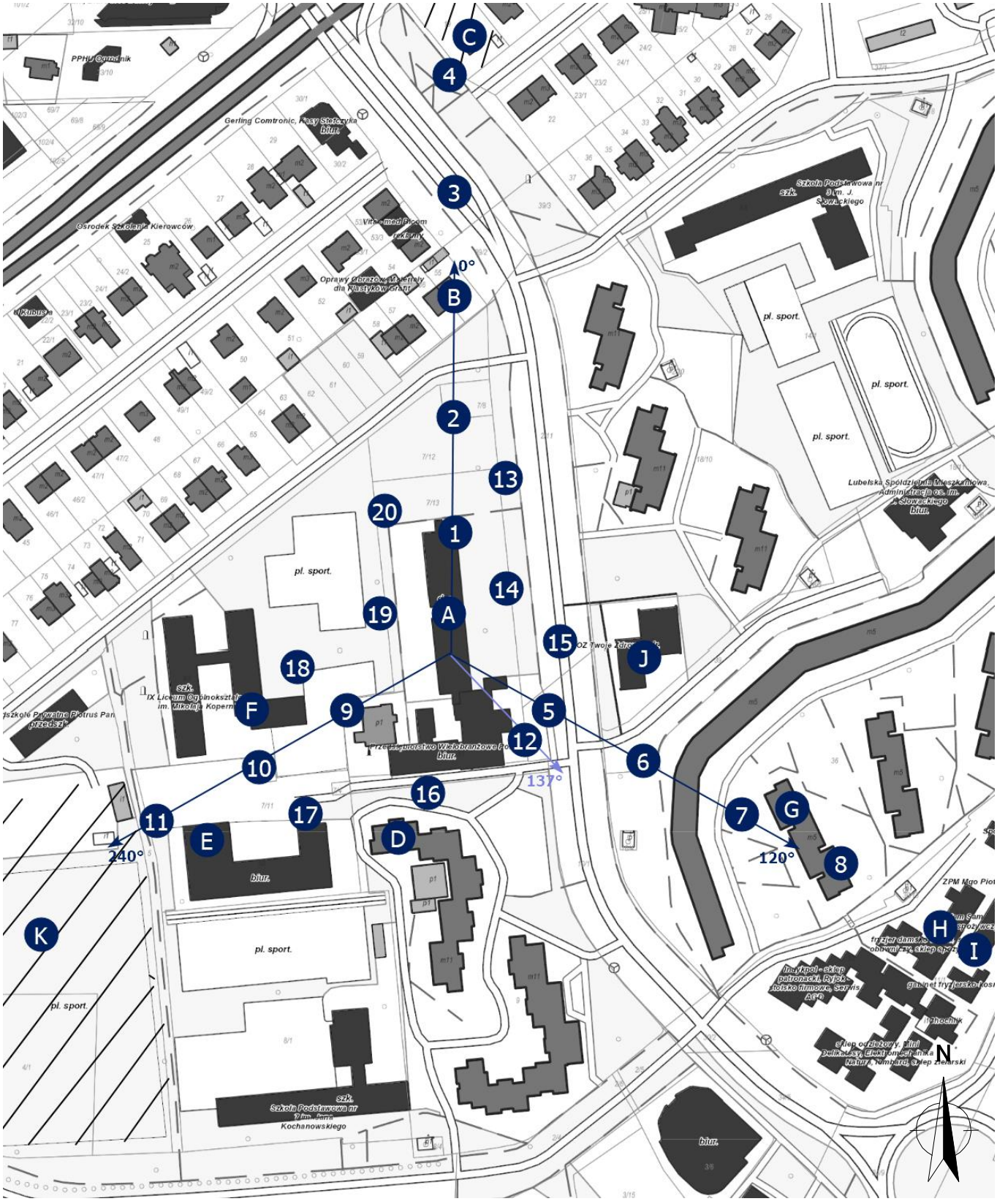


LEGENDA:

- brak dostępu
- inna instalacja radiokomunikacyjna
- nr — pion pomiarowy z poprawką pomiarową (brak innych instalacji radiokomunikacyjnych)
- nr — pion pomiarowy z poprawką pomiarową (w zasięgu innych instalacji radiokomunikacyjnych)
- antena sektorowa
- antena radioliniowa

Odległość, do której zostały wykonane pomiary mierząc od instalacji antenowej wynosi min.:. 269 metrów.

Skala:1:3000

0 50 100m

„Bez pisemnej zgody Laboratorium niniejsze sprawozdanie nie może być powielane inaczej, jak tylko w całości. Ponadto wyniki dotyczą tylko badanych obiektów przywołanych w niniejszym sprawozdaniu z badań”

Zał. 3. Załączniki graficzne.

„Bez pisemnej zgody Laboratorium niniejsze sprawozdanie nie może być powielane inaczej, jak tylko w całości. Ponadto wyniki dotyczą tylko badanych obiektów przywołanych w niniejszym sprawozdaniu z badań”